



MICROFONI 10

CHOISIR

ASSURANCES TUNISIENNES

ASSURANCES SUR LES VÉHICULES

ASSURANCES INDUSTRIELLES

ASSURANCES MARITIMES

TUNIS

الجنة تونسية  
للتأمين والمعاشات

المركز العربي  
للتأمين والمعاشات  
تونس

FON

CNA 4 3068

20 MEST 1979

**DIREKTORATEN DER PEG**

- \* -

**EINLIEFERUNGSPUNKT PEG-VERTRÄGE**

**IN LA JEUDY D'AL GENEVE**

26.1.1979

**NEU KÄNDIGUNG PEG**

~~SECRET//NOFORN~~  
~~DISCUSSION COPY~~  
Discussion des Ressources  
en Pétrole en Afrique  
Stratégies des Ressources en Pétrole

CNDA 3065

~~EXTRAIT DES DOCUMENTS CONFIDENTIELS~~

~~DU 14 JUILLET 1978, CONGRÈS~~

~~mai 1979~~

~~DU 14 JUILLET 1978~~

~~CONTENUS~~

---

**A. GÉNÉRALITÉS**

- 1 : Statigraphie
- 2 : Tectonique

**B. FORMATION DE LA TERRE**

- 1 : La formation du planét
- 2 : La formation solaire et des étoiles

**C. CONSTITUTION DE LA TERRE**

**D. GÉOLOGIE**

~~CONTENUS~~

---

- Tableau n° 1 : Résumé (nappes géologiques)
- Tableau n° 2 : Superficie des plateaux d'eau : (nappes phréatiques)
- Tableau n° 3 : Résumé (nappes profondes)
- Tableau n° 4 : Caractéristiques des formations

**TABLEAU N° 1 :**

- n° 1 : Carte géologique
- n° 2 : Résumé nappes géologiques
- n° 3 : Résumé nappes phréatiques
- n° 4 : Résumé nappes profondes
- n° 5 : Description de la nappe
- n° 6 : Carte des plateaux d'eau
- 3 : Cartes géologiques.

La présente note portera sur l'étude hydrogéologique de la région limitée :

- à l'ouest par l'Oued el Melah
- au nord par les reliefs de l'Orbata
- à l'est par les affleurements du Bouton et les reliefs du Dj. El Aït
- au sud par le Chott el Gueddar.

#### A - QUELQUES - (Planche 1)

##### I - ROCHEMENAGES -

Les affleurements et les crêtes des dunes montrent la présence de terrains appartenant au Crétacé inférieur, Crétacé supérieur et au Méso-paleogénique.

##### 1.1 - Le Crétacé inférieur

Rapporté par la Formation Ghada, ou le fait correspondre à l'Aptien.

a) Formation Ghada : rapporté par :

- le wadi Sidi Aïch (1A) : il s'agit de grès, des calcaires blancs à vésicules, avec intercalations marquées brunes et des calcaires jaunes.
- le wadi Orbata (2) : des dolomies très dures contenant des gours abondants, formant une barre dans l'épaisseur à petites baies.

##### 1.2 - Le Crétacé supérieur -

Rapporté par les 3 unités inférieure, moyen et supérieure du Crétacé qui correspondent au Gharbiien et au Turonien.

a/ Le Bouton inférieur (3A) : rapporté par des calcaires, des calcaires dolomitiques et des dolomies ; ceux-ci sont des calcaires durs. Ces derniers très résistants forment les reliefs de la vallée du Rissani et de l'Orbata. Ils plongent avec une courbure d'angle à concavité vers l'ouest. C'est le Gharbiien calcaire-dolomitique.

b/ Le Bouton moyen (3B) : il dépasse des dolomies et des calcaires durs, contenant des intercalations de calcaires jaunes et de grès. Cette formation est caractérisée par l'absence des dolomies. C'est le Gharbiien moyen.

c/ Le Bouton supérieur (3C) : rapporté par des calcaires blancs et purpurins, des dolomies dolomitiques et des calcaires dolomitiques. Ce bouton débute par un dolomie dans laquelle sont incluses des dolomies.

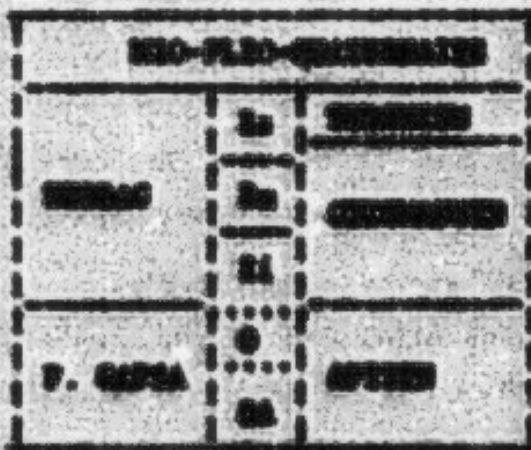
### 1.3 - La Microplicofracture -

Il correspond aux zones ostéomécaniques fuyant le remplissage des dépressions.

Le Microplicofracture n'affleure pas en surface au sud de l'Obélisque la distinction moelle, plicofracture et cartilage dans les fractures est difficile, étant donné la vascularisation du fascia.

Cependant les stades sont distingués.

Le remplissage est formé par des osblies, des ligaments, des granules des organes mous et du gypse ultérieurement.



### 2 - STRUCTURE -

La structure phénicienne de l'Obélisque représente les deux directions de déclivité de celle de la cité de Tunis :

- Une direction ONU - NNE : déclinement principal de l'Obélisque
- Une direction NW - SSE : déclinement de la construction phénicienne sous de l'Obélisque qui est cette dernière, les parties basses de l'Obélisque et le Minaret à l'Est.

### 3 - STRUCTURE -

Le corps d'Obélisque est formé de deux formations superposées.

Les parties sont une partie inférieure d'Obélisque de granite (nom de plateau) avec hauteur d'environ 10 mètres qui débouche au niveau sud du pili de droite de l'Obélisque et au niveau sud du pili de gauche au niveau de 10 m., largeur de 2 m., couvrant une superficie de 20 m<sup>2</sup>.

### 4 - STRUCTURE DE PIED -

Sur ces deux plateaux se trouvent deux parties extérieures à cette structure qui sont deux plateaux qui débouchent vers le sud et vers le sud pour donner deux plateaux.

Sur ces deux plateaux deux plateaux sont formés par deux plateaux qui débouchent vers le sud et vers le sud pour donner deux plateaux.

Les caractéristiques hydrologiques de cette formation sont indiquées en tableau telles qu'elles ressortent du tableau suivant :

N° RÉF.	Q Max. (l/s)	(m)	Qf ( l/s/m )
18762	20	30	0,66
124 Bis	21	31	0,67

La transmissivité calculée à partir des données du 18762 est de  $1,3 \cdot 10^{-3}$  m<sup>2</sup>/s alors que celle du n<sup>o</sup> 124 est  $1,4 \cdot 10^{-4}$  m<sup>2</sup>/s.

#### a) la pénétration (tableau n<sup>o</sup> 12 f Tableau n<sup>o</sup> 1)

La pénétration a été étudiée à partir du niveau 124 bis et d'un certain nombre de n<sup>o</sup>s observations au débouché en surface (Tableau n<sup>o</sup> 2).

Le cours d'écoulement se fait de nord vers le sud et l'érosion est faite par infiltration directe au niveau de précipitations et au cours des cours de l'oued et Wadi, l'oued Ghoulia et d'autres petites rivières.

Cette pénétration montre qu'au niveau des garrigue de la Mouloua d'El Guedid, le cours pénétratif des Ghoulia coïncide avec celle des oueds.

Concernant cette partie sur tout les parts de surface et localisée au sud de la route 47-49 qui va jusqu'à la route de l'oued et des oueds. Ce qui nous amène à constater qu'il existe deux zones caractéristiques celle des Ghoulia et celle des oueds fluvio.

#### b) érosion (tableau n<sup>o</sup> 2) (figur n<sup>o</sup> 1)

Le cours des Ghoulia est caractérisé par deux formes (124 bis et 18762), celle des oueds de Ghoulia sur plus de 70 unités de surface étudiée au sud de la route 47-49.

Le résultat des deux cours moyens pénétrant dans le cours de l'oued Ghoulia. On voit la vitesse est de 1,3 m/l au niveau du cours de 124 bis, elle connaît des variations à 0,9 m/l au niveau de l'oued et des variations de vitesse variant dans intervalles, et à 0,7 m/l à l'ouest entre de l'oued Wadi et la route 47-49 (localité).

Le cours connait un tel état pour ce faire il s'agit en une érosion marquée par la dissolution des cours d'écoulement qui est résultante de l'érosion pénétrante dans l'oued.

Il existe des cours du D.G. qui évolue sur toute des variations marquées par leur évolution sur les cours moyennes et appartenant au 124 ou au 124 bis (niveau cours de l'oued).-

Le deuxième phénomène connu est l'érosion sur deux conditions

- Une famille sulfatée calcaire analogue à celle des eaux des calcaires overlétrant tous les points d'eau à l'Est du puits n° 143.

- Une famille sulfatée, sodique, chlorure et magnésienne provenant des sujets n° 143, 141, 139 et 136 à l'ouest du puits 1-1. Cette eau est très chargée, le résidu sur des eaux atteint des valeurs  $> 37 \text{ g/l}$ .-

Cette dernière famille peut être rattachée à celle des eaux de la partie Est de la nappe phréatique de Gafsa Sud, comme le montre le diagramme overlétrant des sujets n° 136, 131, 132, 139.

Signalons que ces sujets appartiennent à cette famille soit en cours d'antécédence ou bien non antécédente. Ce qui nous laisse supposer que cette forte minéralisation est due au calcium utilisé pour la construction et à la forte évaporation .-.

## 2 - LA FORMATION CALCAIRE CUPRÉE

Il s'agit des calcaires cuivre-dolomitiques et des dolomies, pouilles ou bédias.

À l'ouest la formation extrait n'a un caractère particulier. On connaît les deux séries des sujets de sujets n° 16737 sont aussi l'absence de dolomies hyperdolomitiques, alors que les sujets de sujets n° 16743 sont analogues.-

Au Nord et à l'Est de ce dernier, entre la structure particulière du W. dolomie (à l'ouest) et le W. dolomie (à l'Est), les crêtes lithologiques des formes contiennent des calcaires dolomitiques overlétrant au Rabat inférieur et au Rabat moyen qui sont dans l'extension et Apollon.-

Les calcaires rencontrés au niveau du Rabat de l'ouest et Rabat 16737 sont plus marqués et moins dolomitiques que les précédents. Ils représentent généralement la base du Rabat moyen et le niveau du Rabat supérieur. Ils sont donc dénommés.-

La composition de la partie du bassin dans les formations correspondantes dans cette formation nous renseigne sur le degré de la minéralisation.

N° S.I.M.	Profondeur (m)	Débit de Bassin (m³)
16736	30 - 45	12 m³
	64,30 - ?	Total
16735	30 - 45	12
16736	100 - 120	30
16737	75 - 90	10
16738	100 - 120	11

Ainsi elle est importante au voisinage de la bordure de l'Orbata, essentiellement au niveau des formations de lartes. En effet dans les 45 premières mètres on est en présence d'un horizon assez faiblement karstifé. Ceci est confirmé par les exceptionnelles caractéristiques hydrodynamiques des formations.

La fluctuation décroît en s'éloignant des rivières. Ce phénomène est en relation avec l'épaisseur et la nature des formations qui entourent les cours d'eau.

N° B.I.R.B.	Q Max (l/s)	(m)	Qe (l/s/m)	T min
16705	100	0,4	270	-
12294	70	1,67	42,1	-
12290	104	3,03	32,9	$10^{-3}$
12267	45	3,7	11,2	-
06757	35	35	11,5	$5 \cdot 10^{-3}$
12267	35	27	1,2	-
06753	45	35	1,05	-
12297	10	35	0,34	-

### a) Diffusion :

La pénétration à l'au droit à partir des formations sur exploitées (16705, 12267, 06757 ou 12290) ou de la forme 112 1 (16743) semble très peu étendue alors que celle de 4 mètres d'épaisseur (12267, 06753, 12297) montre qu'il y a une faible fluctuation du niveau hydrostatique.

Les données sont fait l'objet d'une analyse de nivellage par les corrélations de ces formes sont indiquées dans le tableau n° 4.

Le tableau des séries chronologiques de tous les formes confirme que l'on atteint le niveau aquifère. Le gradient hydrostatique, de l'ordre de 0,2 à 1 mètre mètres par mètres montre la bonne nivellabilité et la valeur relativement faible du débit de la nappe.

### b) Diffusion : Table n° 1

Malgré les erreurs des coefficients d'au droit à l'exception de la partie distante aux courants de l'au droit l'I. Nivel, présentant la plus forte, il n'y a pas de coefficients négatifs.

Malgré les erreurs de formes de l'au droit l'I. Nivel sont toutefois toutes nivellables et présentent très courtes.

Le tableau donne de ces deux courants de l'au droit vers l'au droit de 1,0 m/s à 1,2 m/s.

### a) Alimentation :

L'ouvrage de la carte géologique montre que l'écoulement de la nappe se fait du Nord vers le Sud. Le tableau suivant montre d'autre part que les eaux des sources contiennent des calcaires et les goulies ont des calcidéites très appauvries. Ceci tend à démontrer que l'alimentation des calcaires ne se fait pas uniquement à travers les affleurements mais également par l'infiltration des goulies.

n°	n° exp	R.S (g/l)	Formation Capde
1	12227	2,3	Les calcaires en contact avec des goulies
2	16780	2,3	Les calcaires près des affleurements
3	9254	1,3	Les calcaires près des affleurements
4	204 Blz	1,3	Goulies

### c - ÉTUDE DE LA NAPPE -

La surveillance de la nappe depuis février 1972 jusqu'à la fin de l'année 1977 permet de dresser une liste sur l'évolution de cette nappe au cours de 7 ans d'observation.

Le niveau de Poffstein, utilisé comme référence dans la pénétrante la plus rencontrée, la reconstitution graphique de plusieurs références de ce niveau nous montre un ralentissement à la stabilisation pendant les mois d'automne et d'hiver, voire même une remontée des niveaux en hiver (1975) .

Cette fluctuation est certainement le résultat d'un effet saisonnier de la nivalisation et de l'exploitation.

En effet les nivélations sont très mal effectuées dans le milieu vadose (cf 2) et ce souvent tout au niveau et en hiver. Même que l'exploitation modifie cette nivéofréquence très rapidement.

Ensuite, voyant cet effet saisonnier, on constate un décalage constant du niveau de la nappe. Ceci montre qu'il n'y a pas un équilibre entre l'alimentation et l'évacuation de cette nappe.

Le tableau ci-dessous, nous montre que l'épaisseur de l'affleurement est de même ordre de grandeur que les autres types d'affleurements (environ 0,5 mètres moyens sur toute la période d'observation).

n° R.I.R.H.	A = Altéritisation ou R = Rétardée / mante ( en m )								A ou R Total et moyenne/m (m)
	72	73	74	75	76	77	78		
18947	A 1,16	R 0,25	A 0,14	A 0,24	A 2,37 m en 3 ans				A = 4,16 m en 7 ans 0,59 m/ans
12227	A 0,39				A 3 m en 6 ans				A = 3,55 m/7 ans 0,5 m/ans
9334		0,09			A 1,09	A 0,34	A 2 m / 1,2 ans		A = 3,83 m/8 ans 0,48 m/ans
16737					A 0,1	A 0,09	A 0,21	A 0,05	R = 0,55 m / 4 ans 0,13 m / an
16343					A 0,35	A 0,77	A 0,37 m/2 ans		A = 2,69 m / 4 ans 0,67 m/ans
Montagne									
11401	109	100	129	131	144	147			
Montagne (m)	109	103	108	107	104	109			

**DISCUSSION :**

Le terrain de l'oued el Melah présente une pédogenèse incomparable aux autres. Pendant toute la période d'observation on observe une vitesse de 0,53 cm/an.

Il est important ici de noter que l'érosion directe de la nappe à ce niveau est à écarter, en raison de la présence d'une couche argileuse entre 22 et 83 m de profondeur : contre le mur de la coupe du forage. Par contre l'érosion est visible sur toute affleurement calcaire en surface avec une fluctuation comparable au niveau pédogénétique de la nappe. -

Il semble que ce phénomène soit dû à une participation de la nappe de cette faille à l'érosion de cette nappe en question.

Le cours hydrogéologique (n° 1) met en évidence une relation directe entre les deux aquifères aquifères. Ce phénomène sera étudié dans l'étude plus détaillée qui concernera sur les deux aquifères.

2) CONCLUSIONS :-

Dans la région d'El Gouettar deux systèmes aquifères sont mis en évidence : -

Le premier est une nappe phréatique ('importance réduite dans les saisons pluviales ( exploitation annuelle 641671 m<sup>3</sup>/an ( 30 l/s ) ).

Le second est formé par la nappe profonde dite nappe des calcaires et celle des Ghoulis, alimentant l'essieu le village d'El Gouettar et le Centre minier de M'BILLA - HOUVIA.

L'exploitation de ce système au cours des 4 années passées est en forte croissance. Le contrôle du niveau de la nappe profonde par déversement continu mettant ainsi en relief un déséquilibre entre l'entrée et la sortie de cette nappe.

Il convient ainsi d'insister tout en évitant de ... pour expliquer une aggrégation de la situation. -

PIEZOMETRE  
MAPPE PREPARATION  
EL GUETTAR

N° Ordre	DÉMONSTRATION	Z m	H m	P. m
136	Abidji Mohamed Labib	236,71	6,3	239,21
137	Abidji Bouteball n° 3	243,78	4,4	239,18
138	Mohamed B. Amer B. Abidi	237,26	4	239,28
140	Mohamed B. Amer B. A. E. Mousen	239,64	3	234,64
141	Abidji Bouteball n° 4	236,25	2,6	239,65
142	Aboumouslim Shilia	244,97	7,9	237,97
143	Ali Ben Tahar Ben Mousse	243,95	6,8	239,15
144	Charif Abidjilah	243,65	7,1	236,45
145	Mouad Elfenna B. Ahmed	242,54	7,86	234,98
146	Mouad Ben Tili	243,58	3,75	239,82
147	Mouad B. Salih et Frère	237,92	2	225,92
148	Mouad B. Soud B. Mahrouk	241,01	6,8	233,21
149	Soud B. Mouad B. Soud 1	230,96	5	225,76
150	Amer B. Shihab	229,24	3,6	224,66
151	Mouad B. El Wardi	227,46	4	223,46
152	Mouad et fils Mahrouk	229,75	4,15	223,5
153	Mouad Lamine 2	222,06	1,7	220,38
154	Mouad Ben Elfenna	220,24	6,55	223,95
155	Ali B. Abdessamad B. Taher	230,62	11,5	215,72
156	Mouad Mousse	229,61	10,35	218,48
157	Mouad B. Ali B. Mansour	244,74	10	234,74
158	Mouad B. Litalem	233,26	9,25	234,98
159	Mouad Polidio ..	232,21	6,15	235,95
160	Mouad B. Mansour	221,45	3,8	219,45
161	Mouad Abdelli	230,69	5,75	235,94
162	Mouad B. Ahmed Marrougai	227,36	5,25	222,16
163	Mouad Salih B. Ahmed Sghirier	236,38	14,35	232,98
164	Ali B. Laâbi	239,79	16,15	231,44
165	Police Coopérative	239,74	17,15	231,49
166	Laâbi	221,25	3,75	223,75

Z = Altitude M.E du repère originé des mesures

H = Profondeur de celles mesurées par rapport au repère originé des mesures

P = Altitude M.E des vélums géodésiques.



1. 2. 3. 4. 5. 6. 7. 8. 9. 10. 11. 12. 13. 14. 15. 16. 17. 18. 19. 20. 21. 22. 23. 24. 25. 26. 27. 28. 29. 30. 31. 32. 33. 34. 35. 36. 37. 38. 39. 40. 41. 42. 43. 44. 45. 46. 47. 48. 49. 50. 51. 52. 53. 54. 55. 56. 57. 58. 59. 60. 61. 62. 63. 64. 65. 66. 67. 68. 69. 70. 71. 72. 73. 74. 75. 76. 77. 78. 79. 80. 81. 82. 83. 84. 85. 86. 87. 88. 89. 90. 91. 92. 93. 94. 95. 96. 97. 98. 99. 100.



TABLA N° 3

**PILONNITOS**  
**PIPS PROPIOS**  
**EL GOYTACAS**

| Nº    | COMBINACION       | Z (m)  | H (m) | P (m)  | Estat Actual |
|-------|-------------------|--------|-------|--------|--------------|
| 10004 | El Goytacas 2 bds | 251,32 | 33,3  | 216,01 | Pilonnitro   |
| 10005 | Bosques 1         | 245,33 | 29,31 | 216,32 | Pilonnitro   |
| 10006 | Guallito          | 246,08 | 27,56 | 216,52 | Pilonnitro   |
| 10007 | Bosques 001       | 229,10 | 11,46 | 217,64 | Equipado     |
| 10008 | Wind Shakes       | 237,86 | 7,22  | 230,64 | Pilonnitro   |
| 10009 | Bosques 4         | 253,93 | 35,03 | 216,9  | Pilonnitro   |
| 10010 | Bosques Usar      | 245,65 | 38,74 | 216,9  | Equipado     |
| 10011 | Bosques 3         | 240,34 | 22,34 | 216,3  | Equipado     |
| 10012 | Bosques 3         | 245,26 | 27,10 | 217,96 | Pilonnitro   |
| 10013 | Bosques ( usos )  | 247,79 | 29,23 | 216,34 | Equipado     |

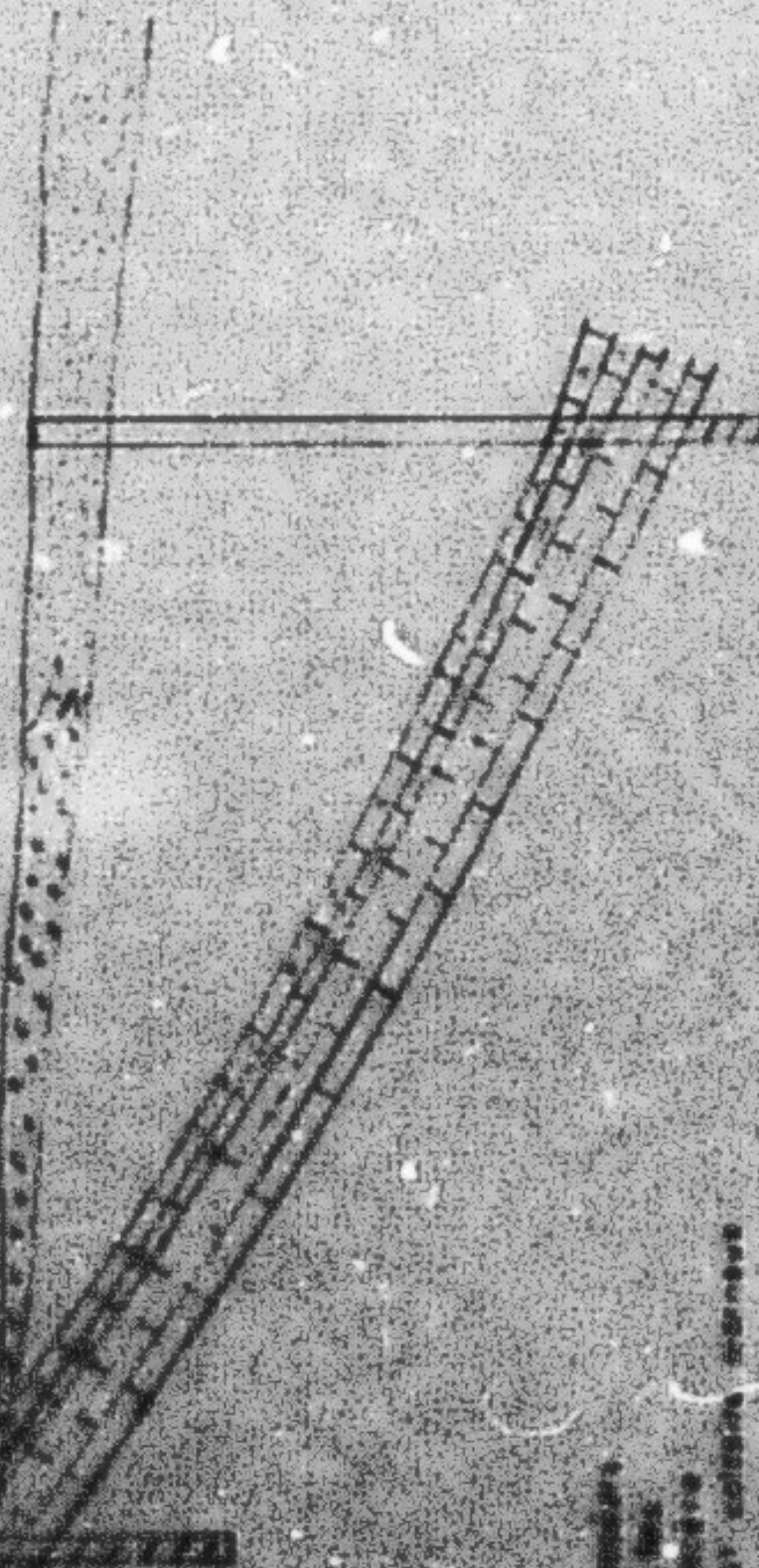


2

Gratola S.E.  
16.72

Pulls  
Vel

1



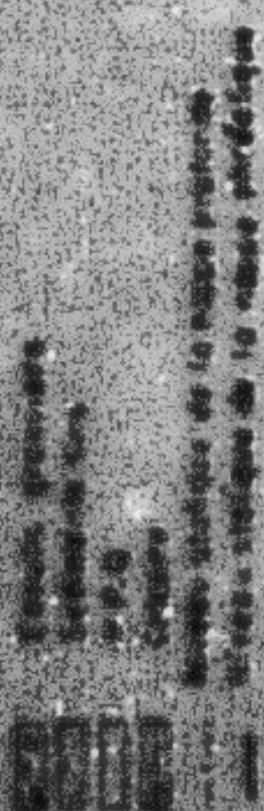
100  
50  
25

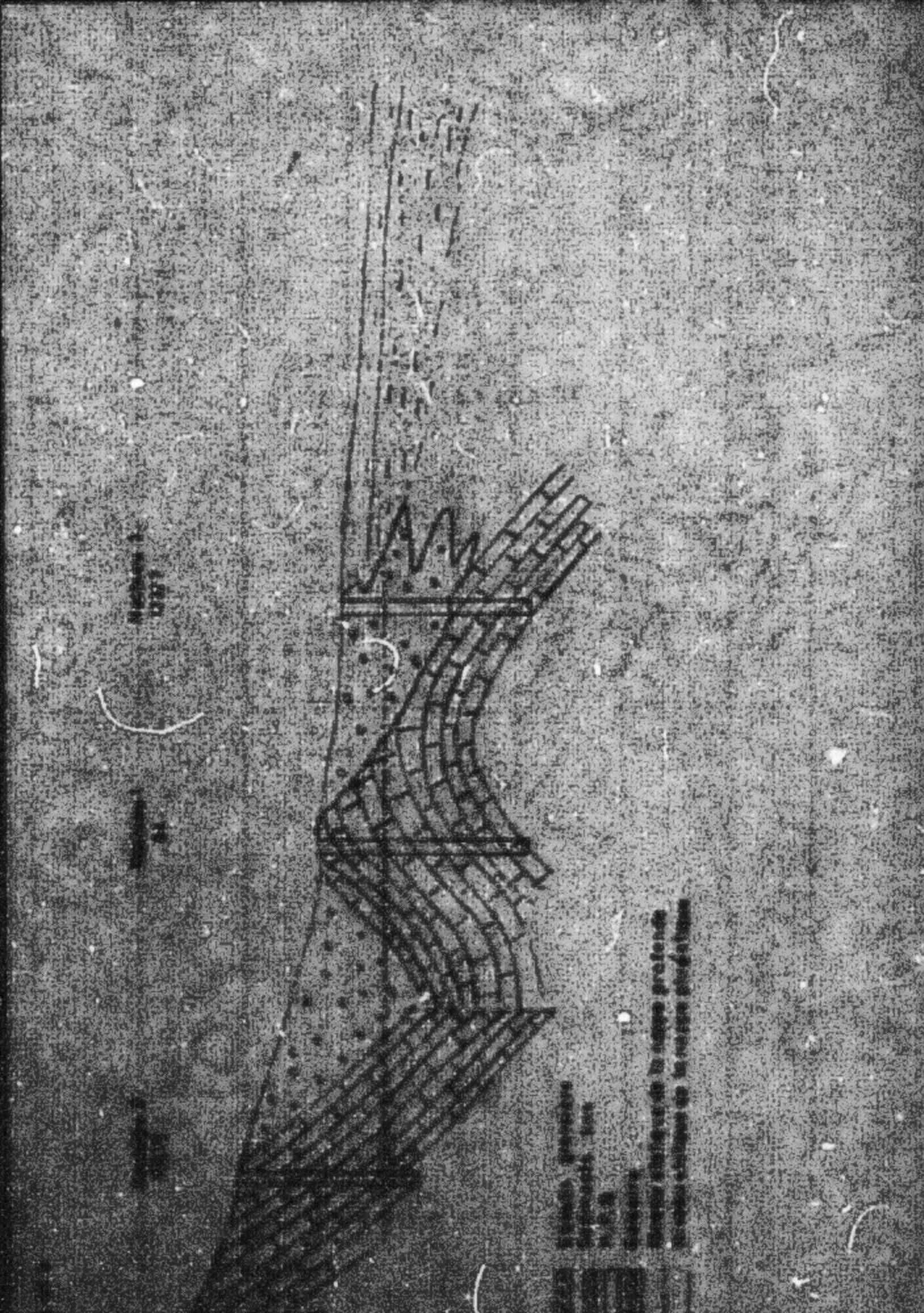
processando

200

1000  
500

L





POTABILITY  
MONITORING

MAX 442

MIN 100

PAN

PPM

PPM

PPM

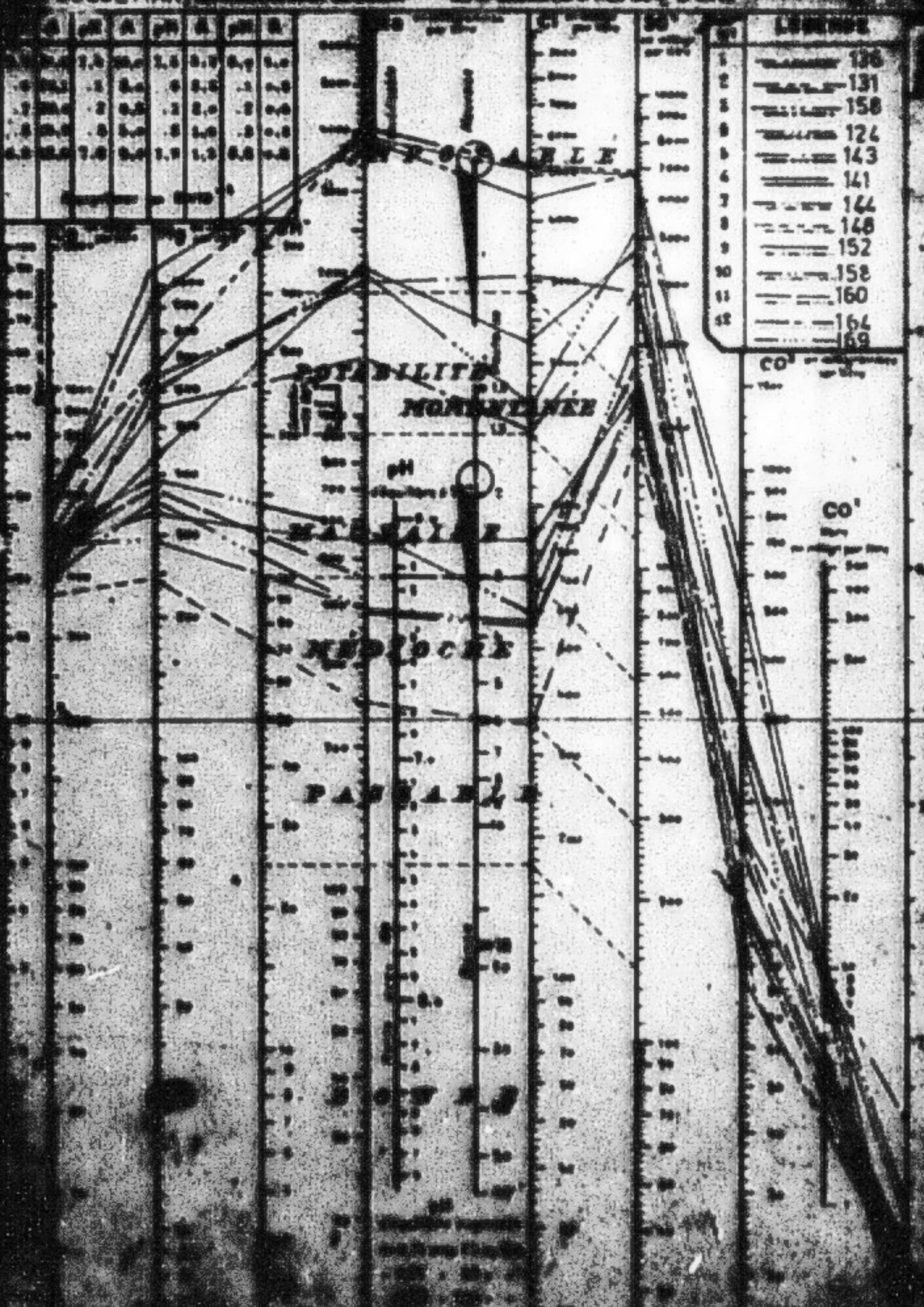
PPM

PPM

PPM

15740  
15843  
15850  
15852  
15854  
15857  
15860  
15870  
15872  
15875  
15877

**ELQUETTAR**



ETUDE HYDROGEOLOGIQUE  
de la région d'EL Guettar  
carte géologique  
(photo aérienne)  
Echelle 1/25 000

Oasis

Al Aïc

Zebt Zebt sur rivière

Zm Zebt sur rivière

Zi Zebt sur rivière

O Oasis

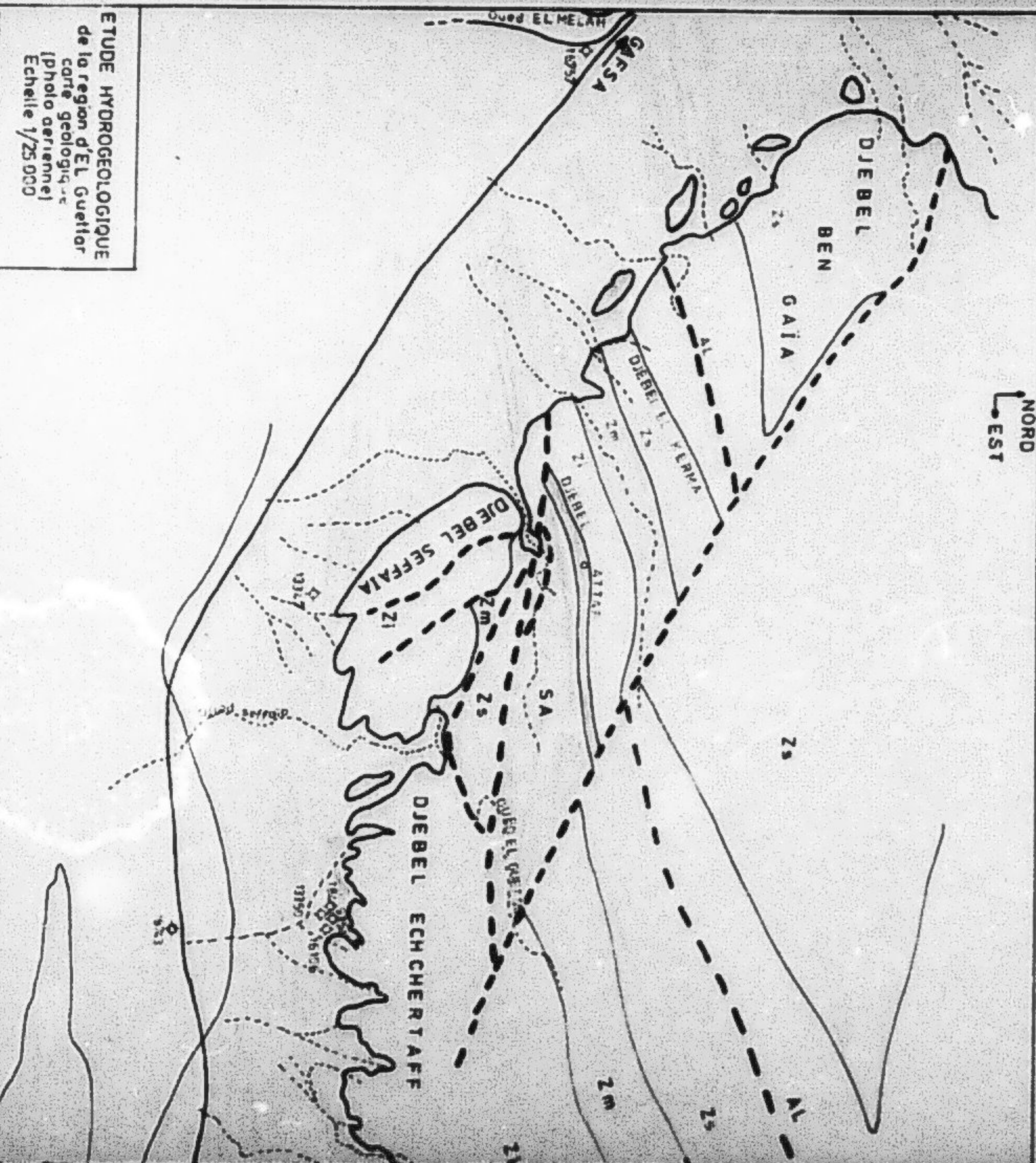
SA Sidi Aïn

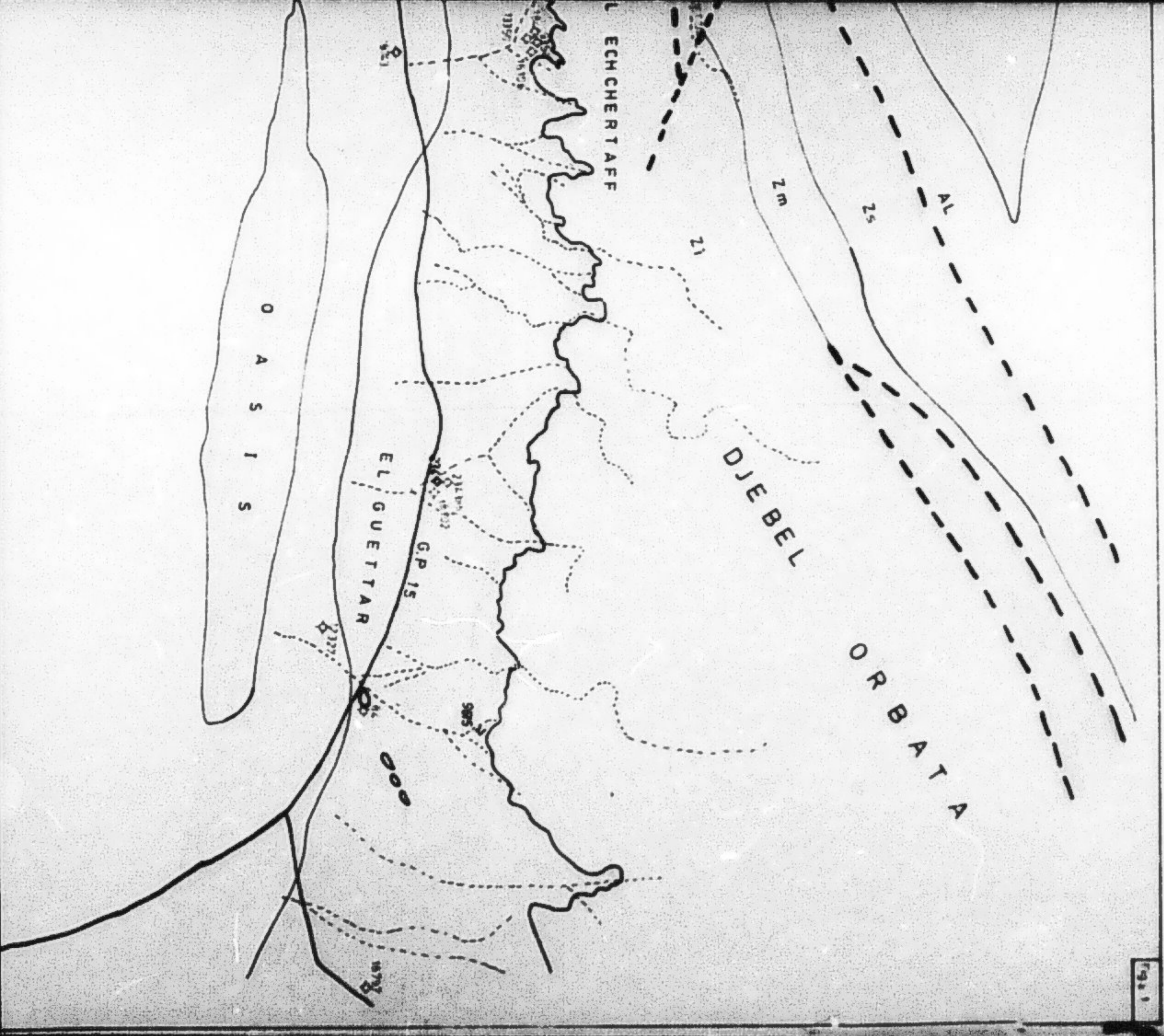
Krib

Ferme

Réserve

NORD  
EST





Coupe n° 1

N.NW

Gafsa-Gare  
18727

Puits  
128

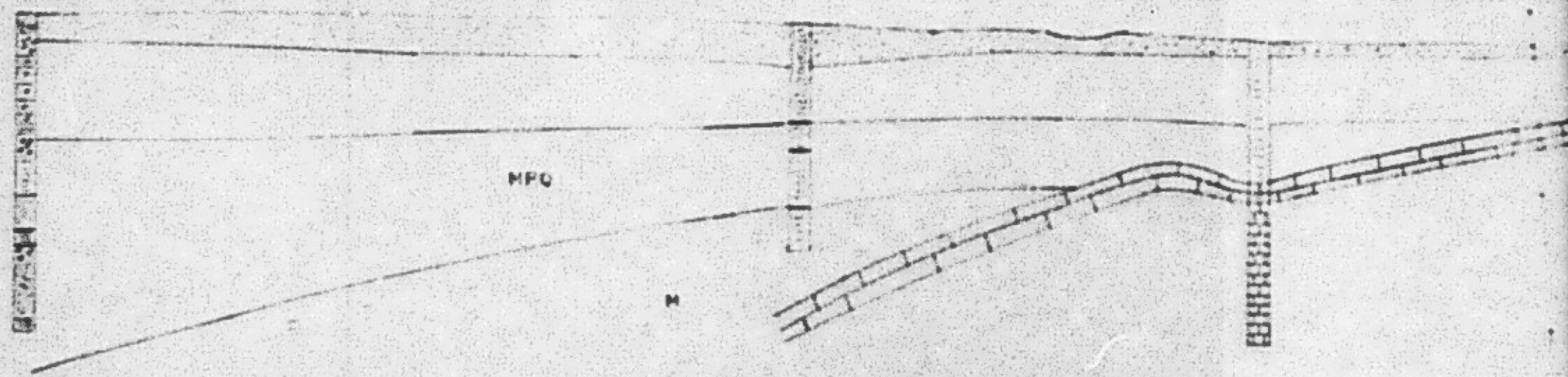
Puits  
189

Pro. Lalla S.G. 2  
5467

Puits  
132  
D.Mach

Puits  
Daud Mach  
136 18757

275  
250  
200



- [diagonal lines] Eboulement grossier
- [horizontal lines] Sc. calcairements fins
- [vertical lines] M.P.U.
- [cross-hatch] Miccane
- [solid black] Calcare Z.

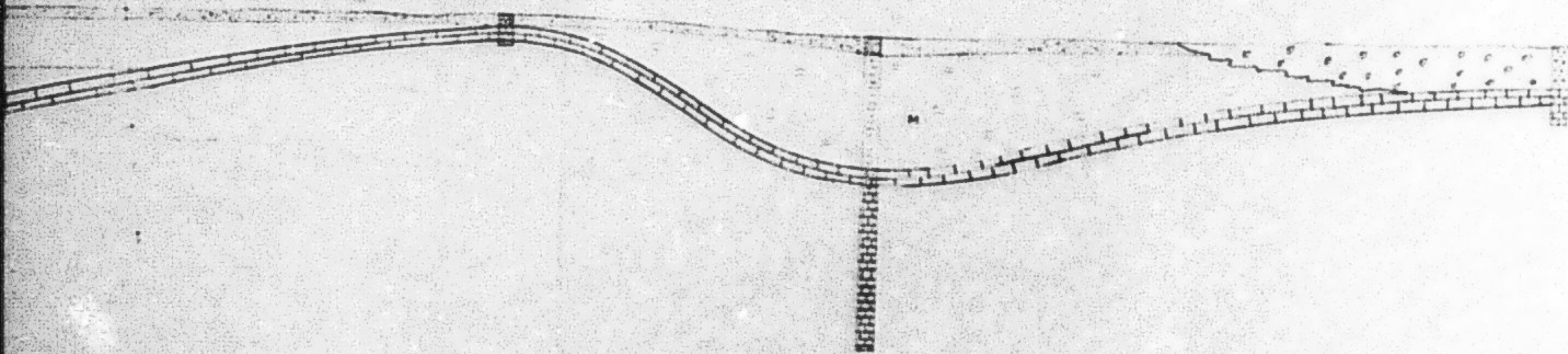
Parts  
181

SEFFAIA  
0347

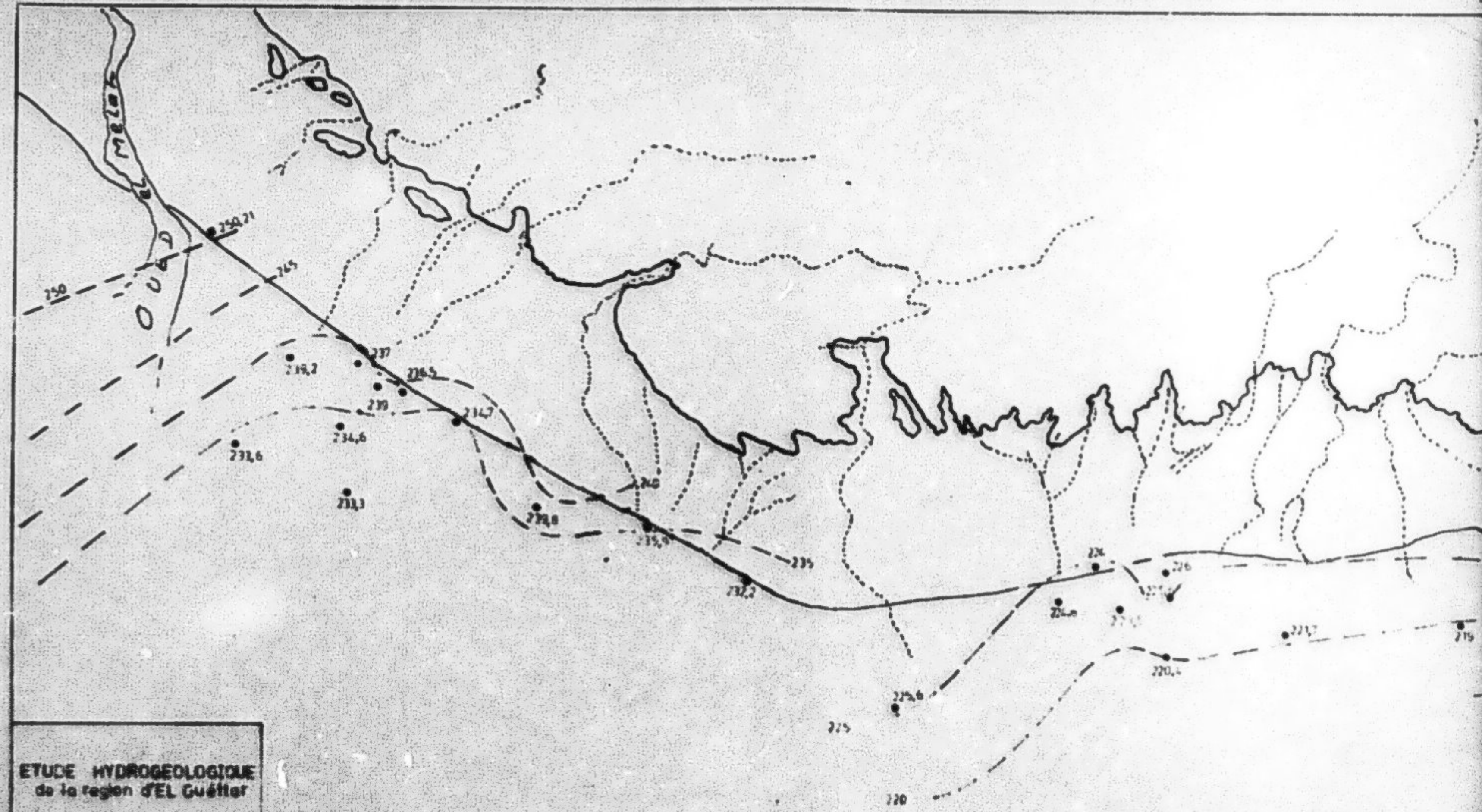
ORBATA SET  
16243

ESE

Section 3  
1322



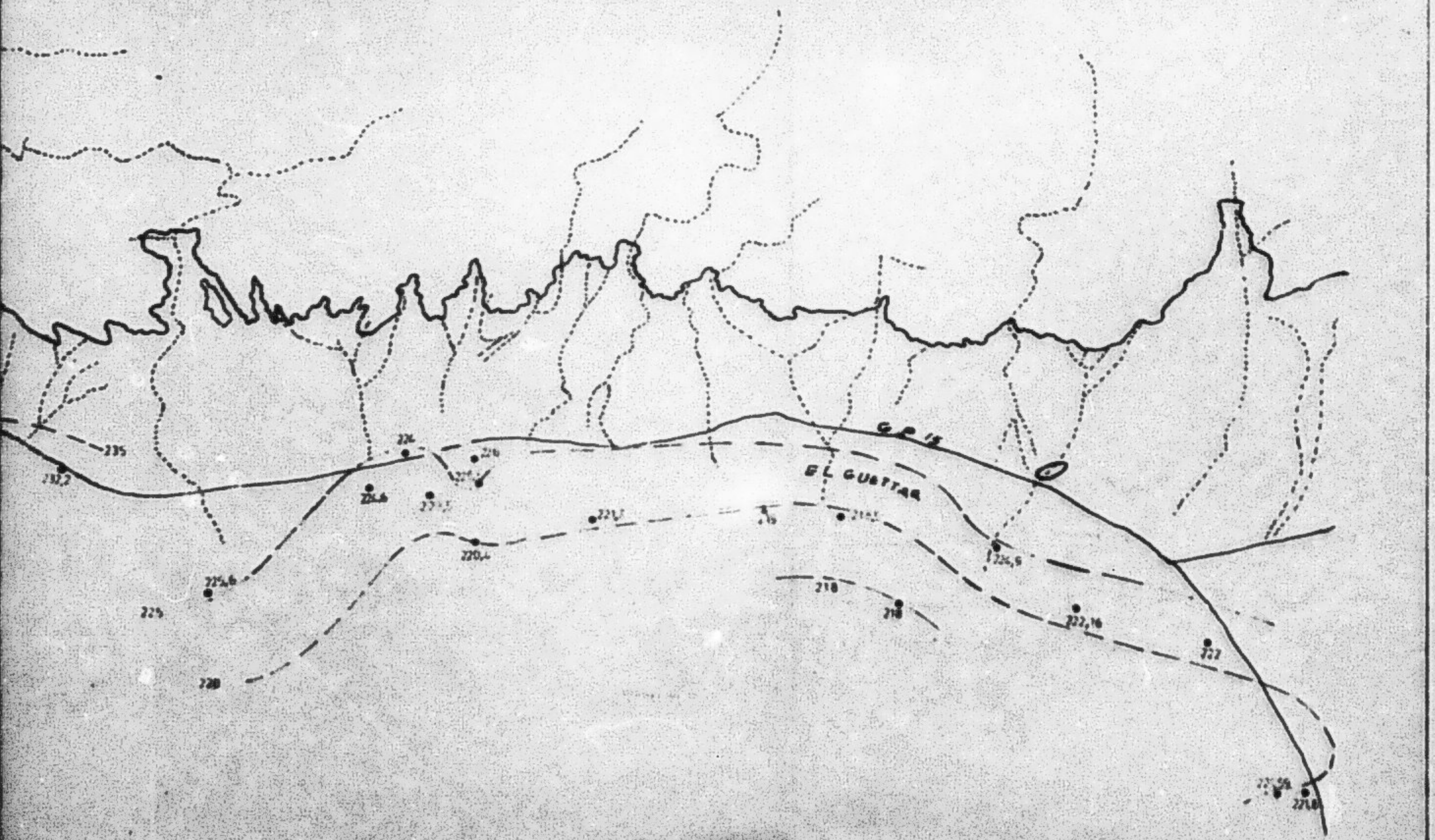
RS 105  
RS 37  
MSI - 835

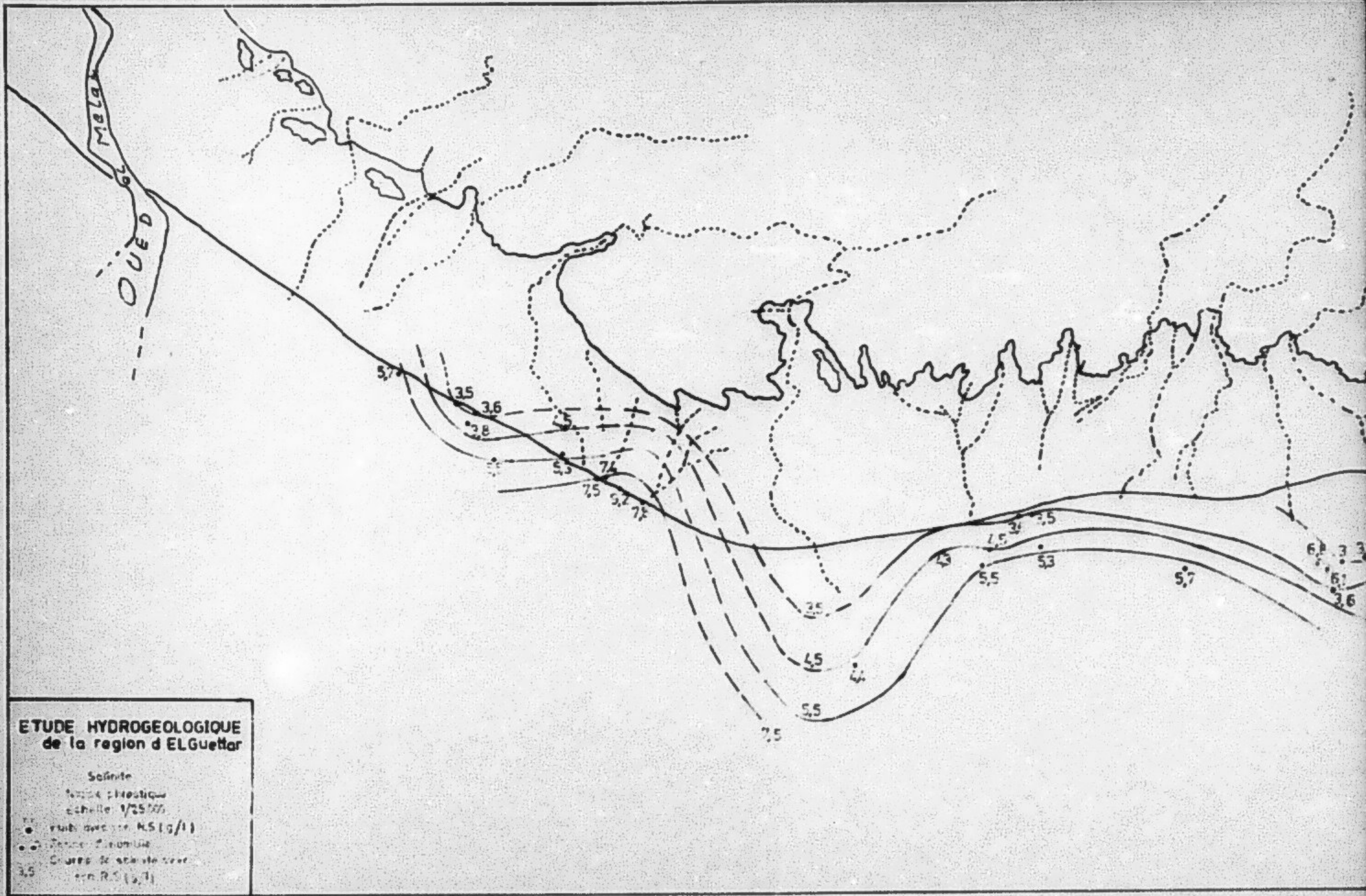


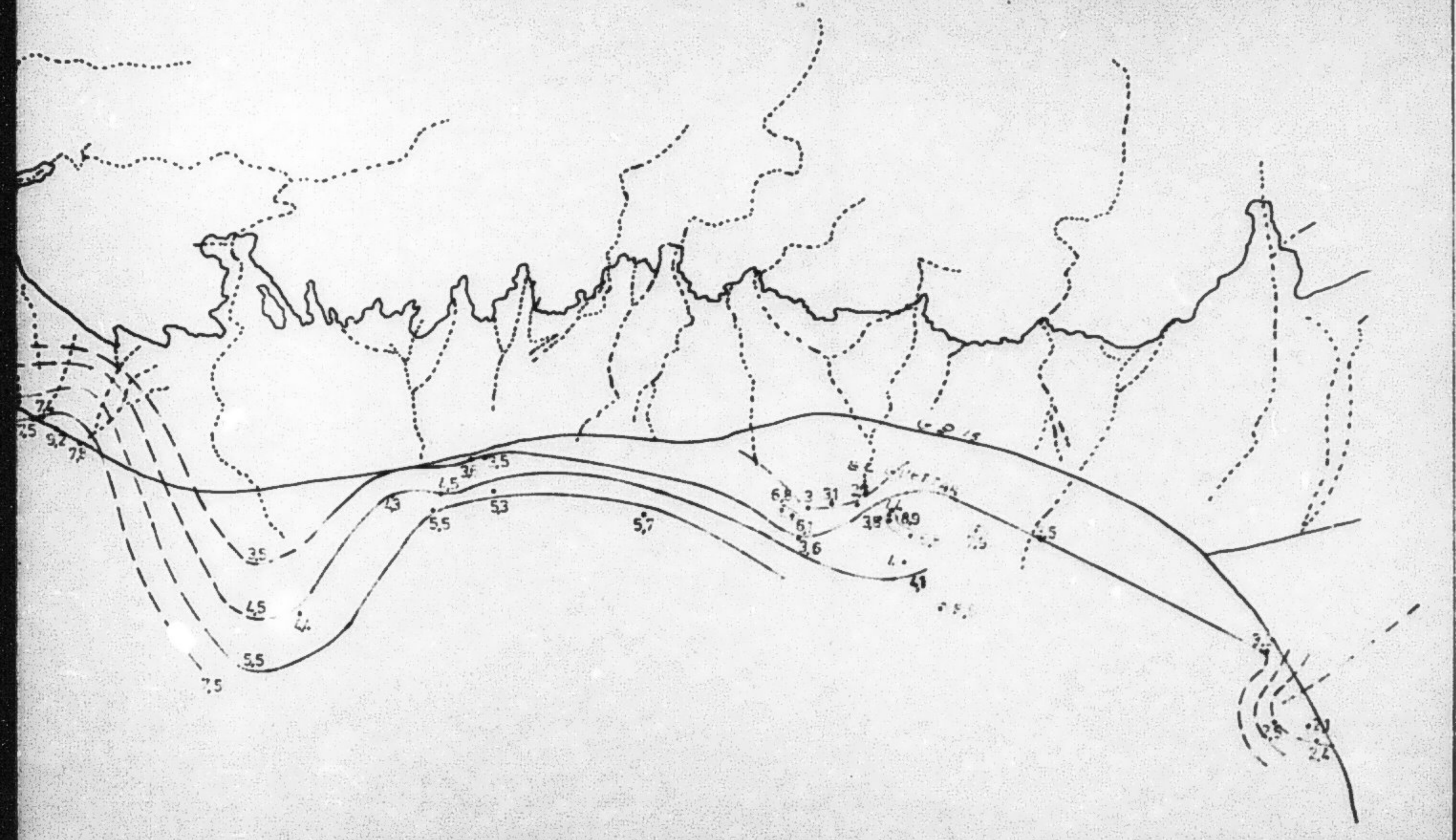
## **ETUDE HYDROGEOLOGIQUE de la région d'EL Guettar**

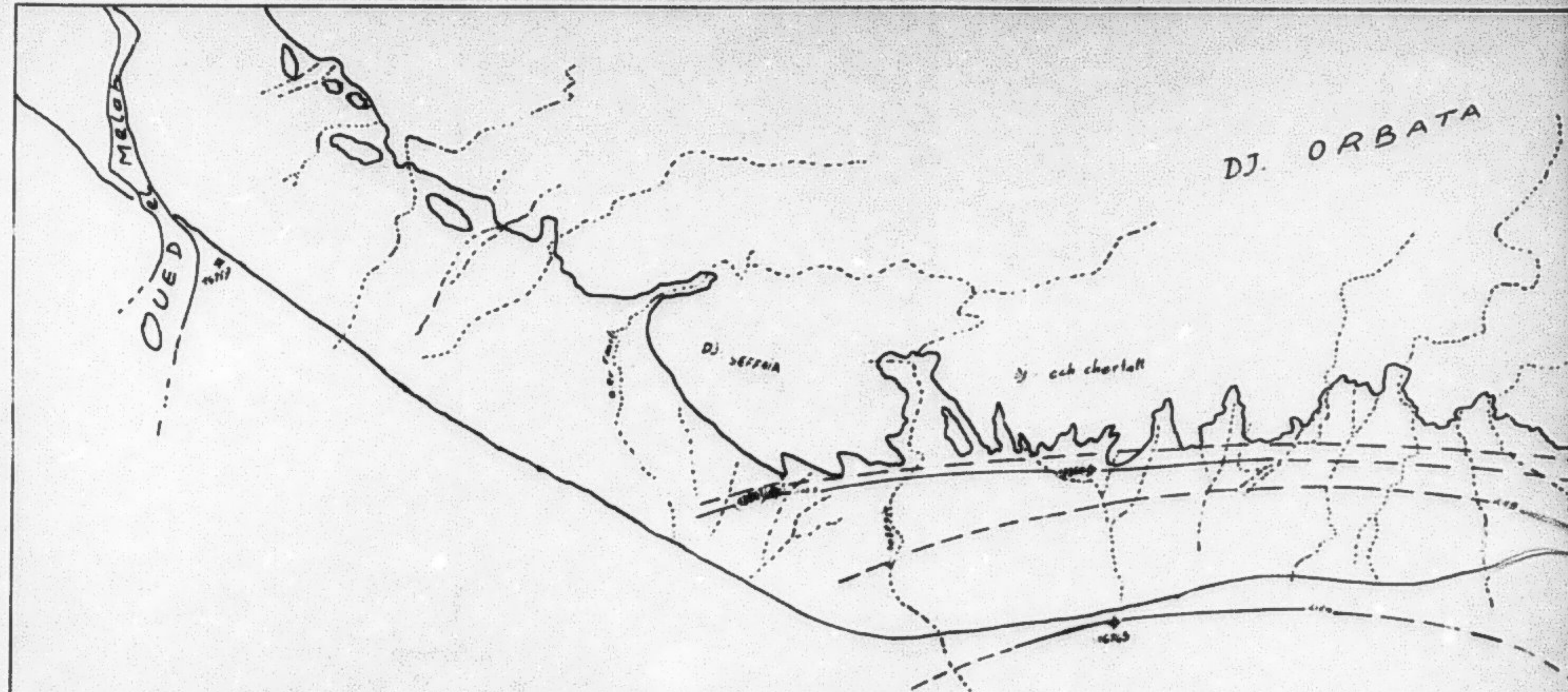
1975-1976  
1,775,000

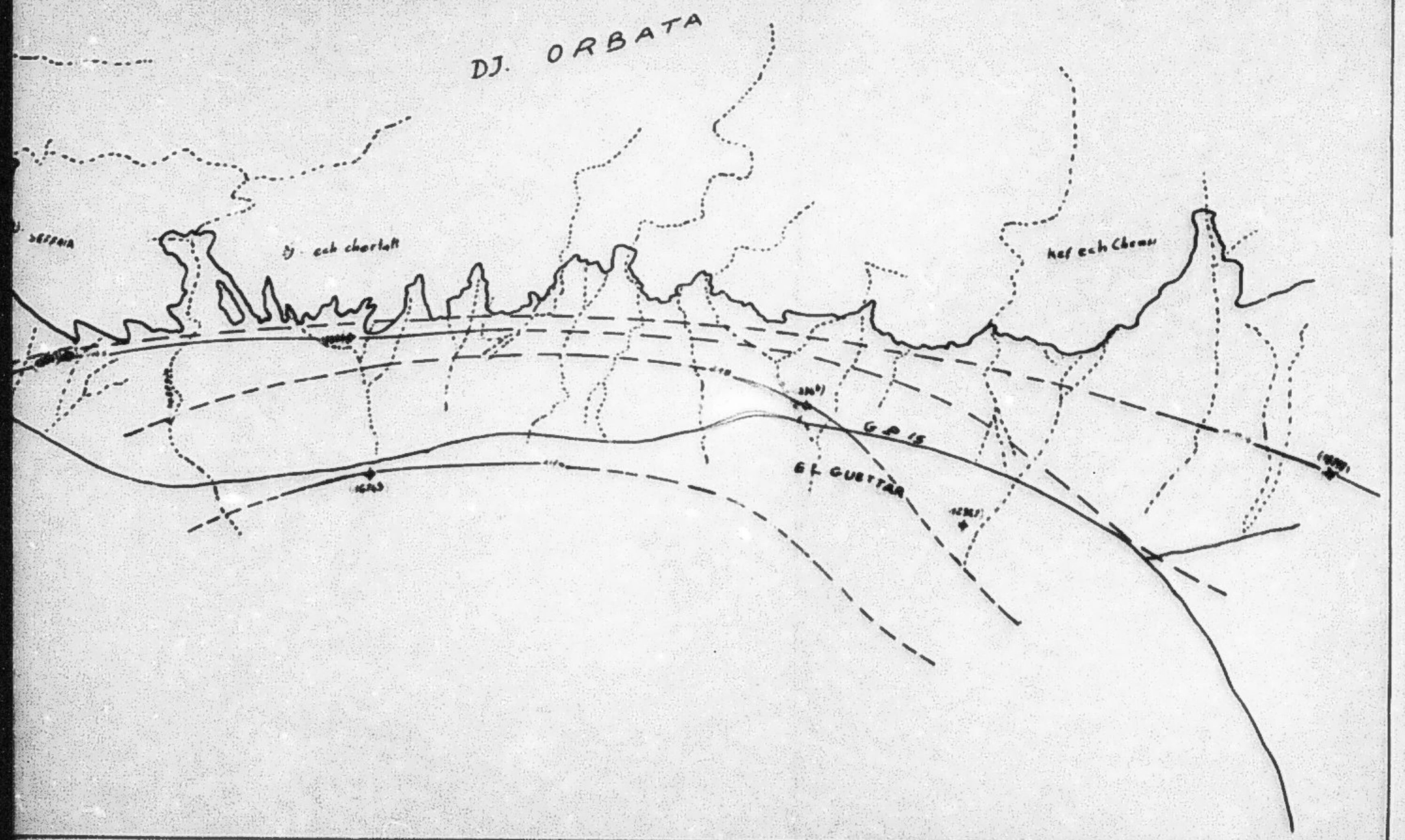
177-6 Puits aveue - site pressenti que  
177-7 Courte recette

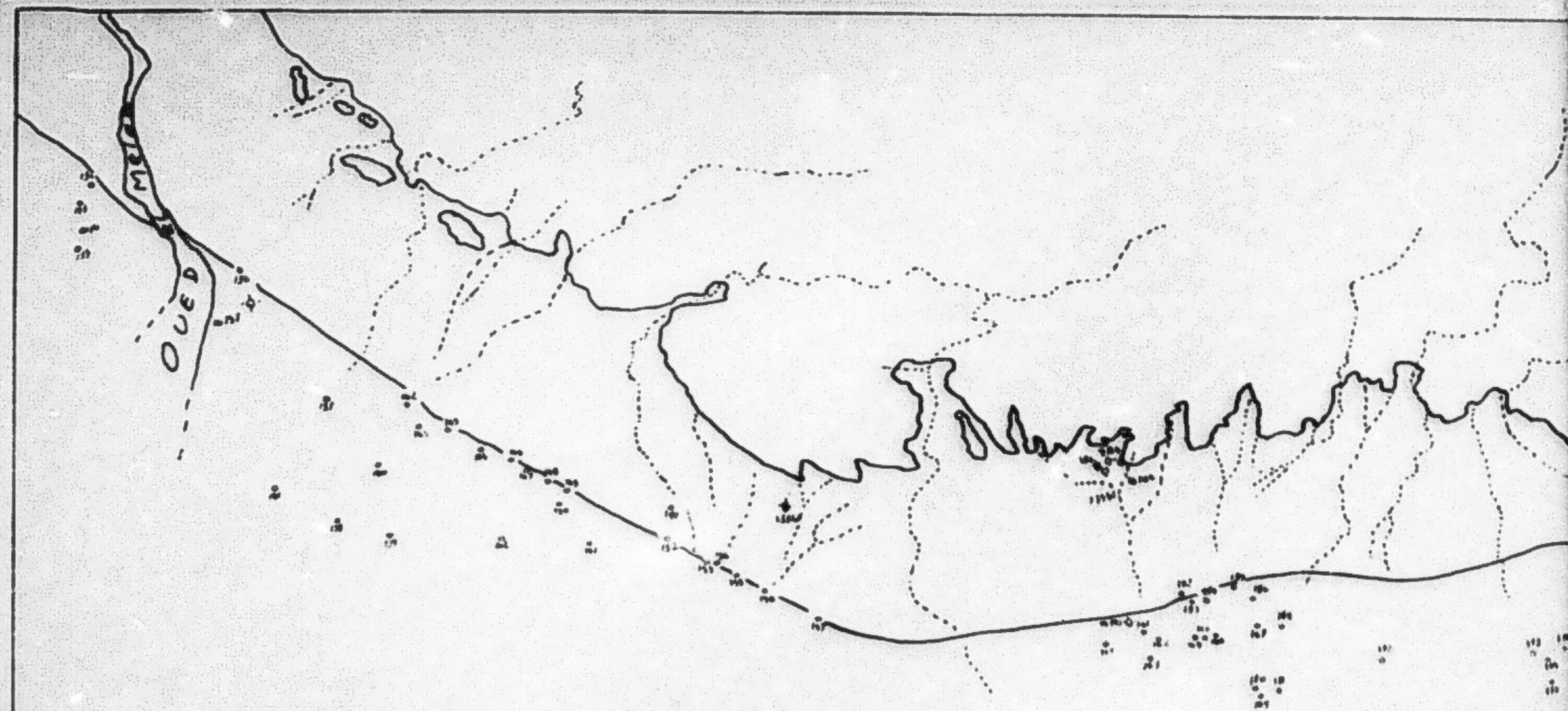






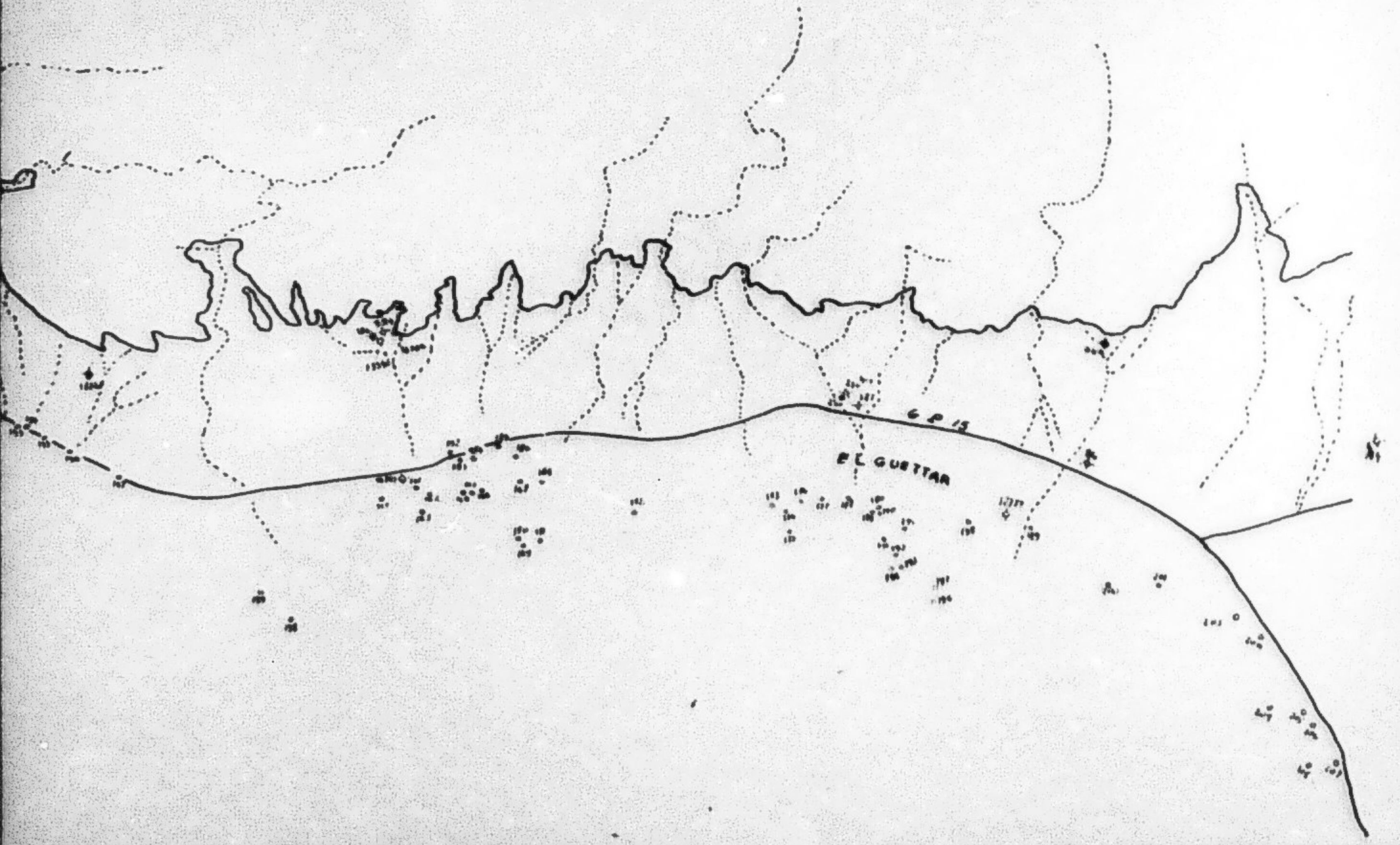






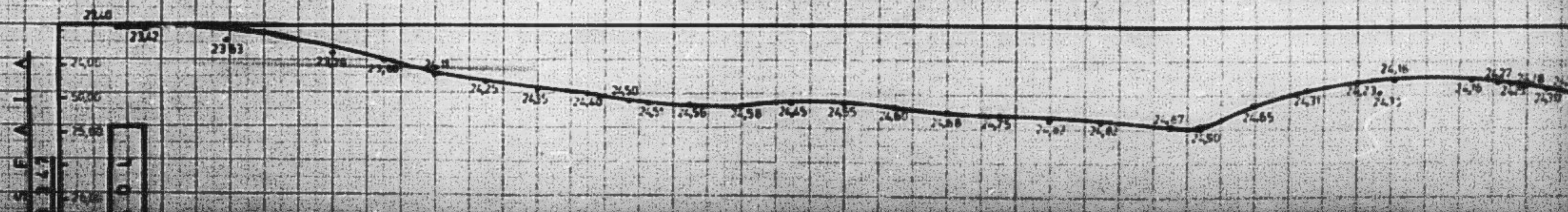
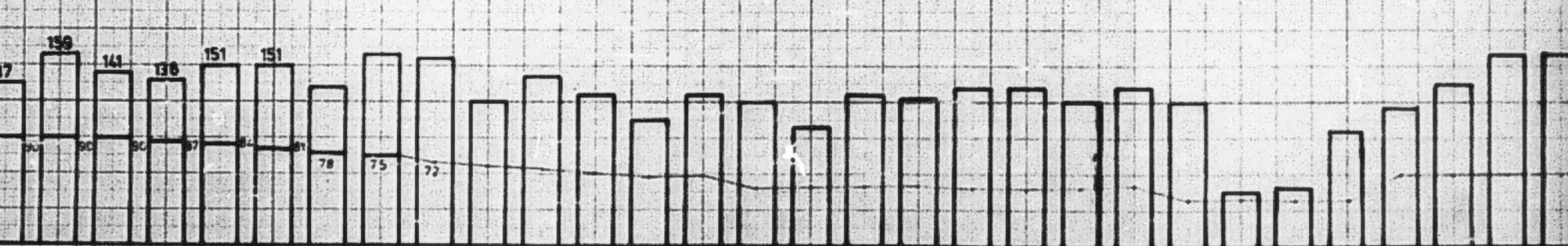
**ETUDE HYDROGEOLOGIQUE**  
de la région d'EL Guettar

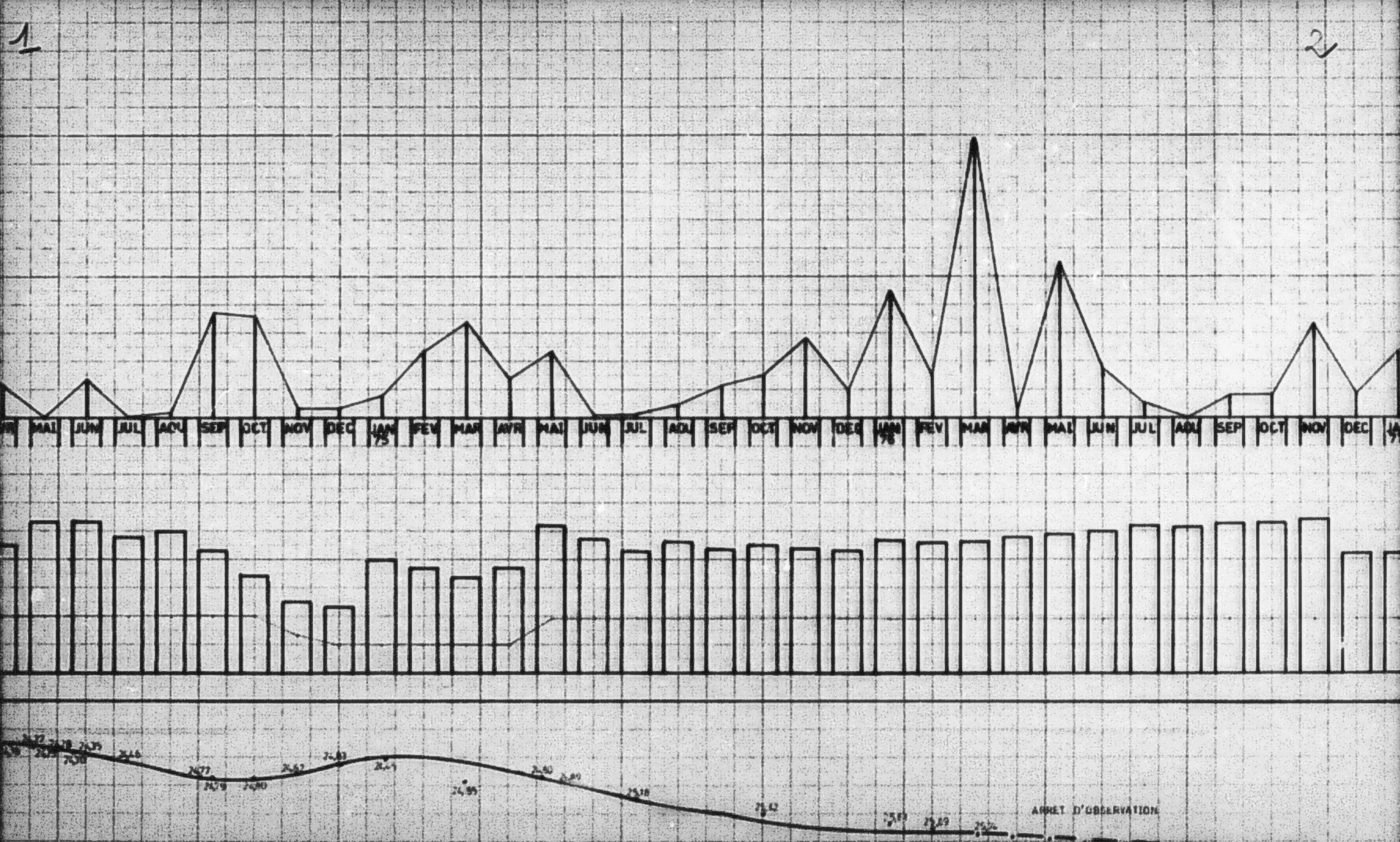
Modèle 1 : 1:100 000 avec 1 cm = 1 km



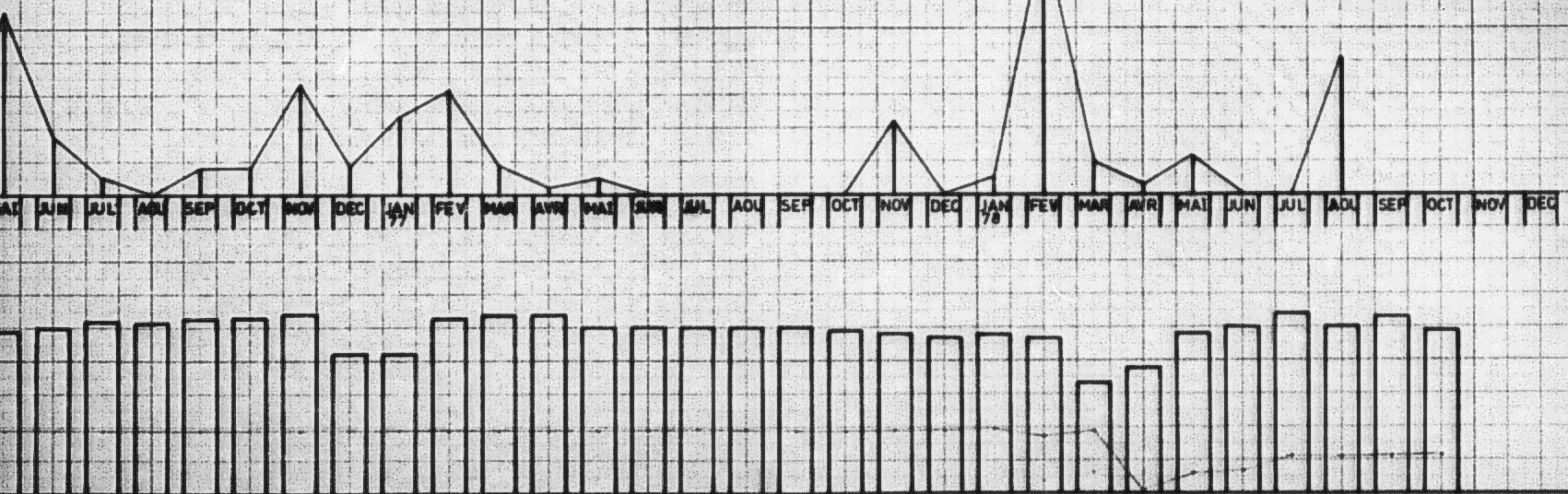
ETUDE HYDROGEOLOGIQUE  
de la région d'EL GUETTAR

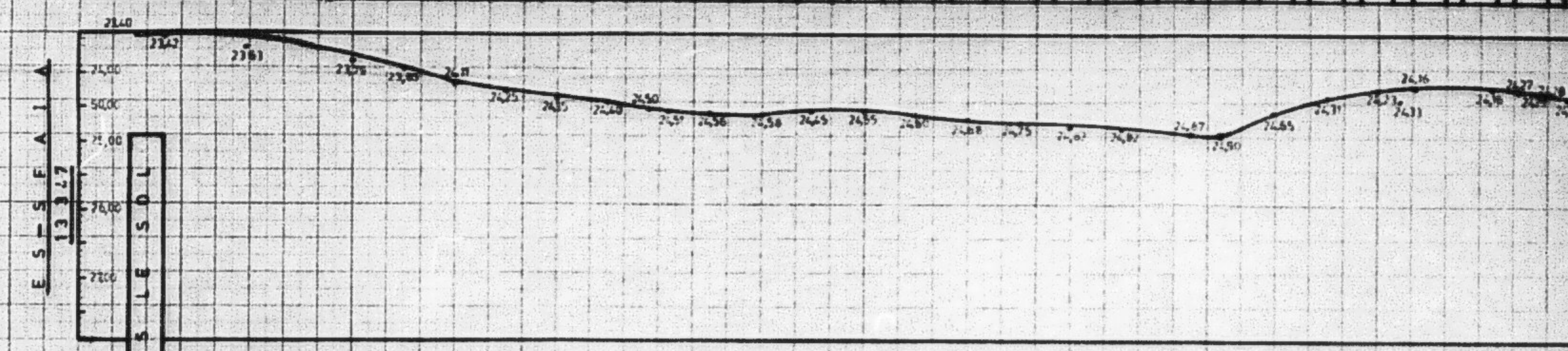
Evolution de la nappe

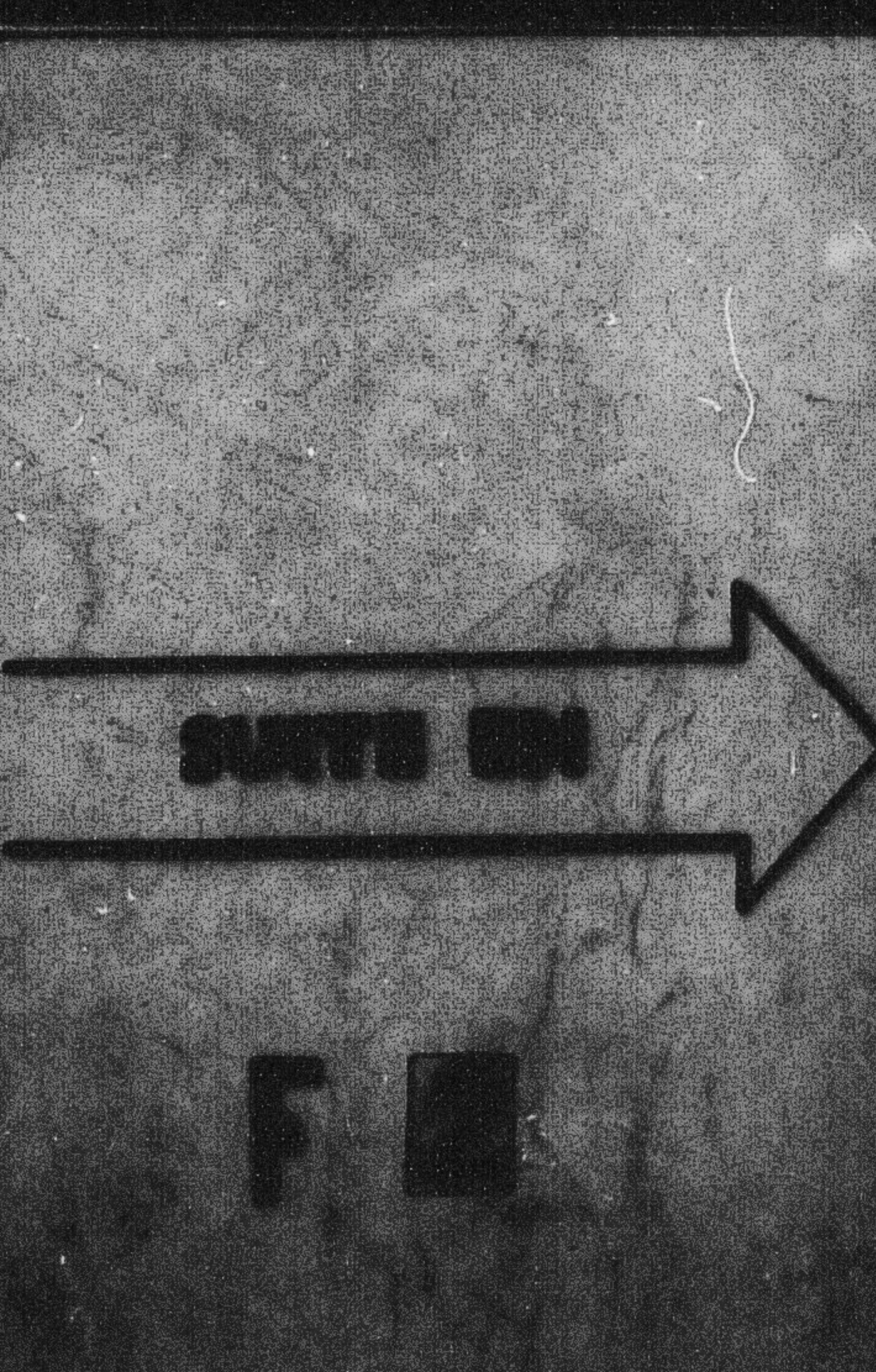




3







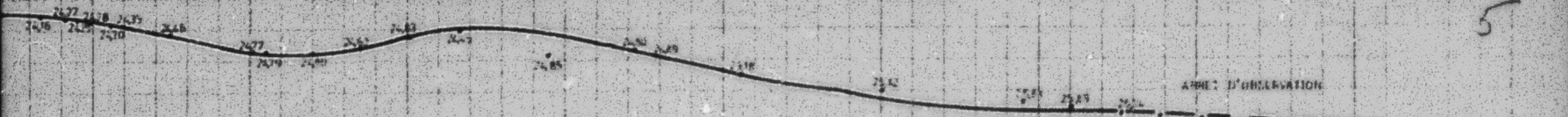
**الناظرية الفنية**

**وزارة الصحة**

**المركز التدريسي**

**الموريتانية الفلاحية**

**جامعة**

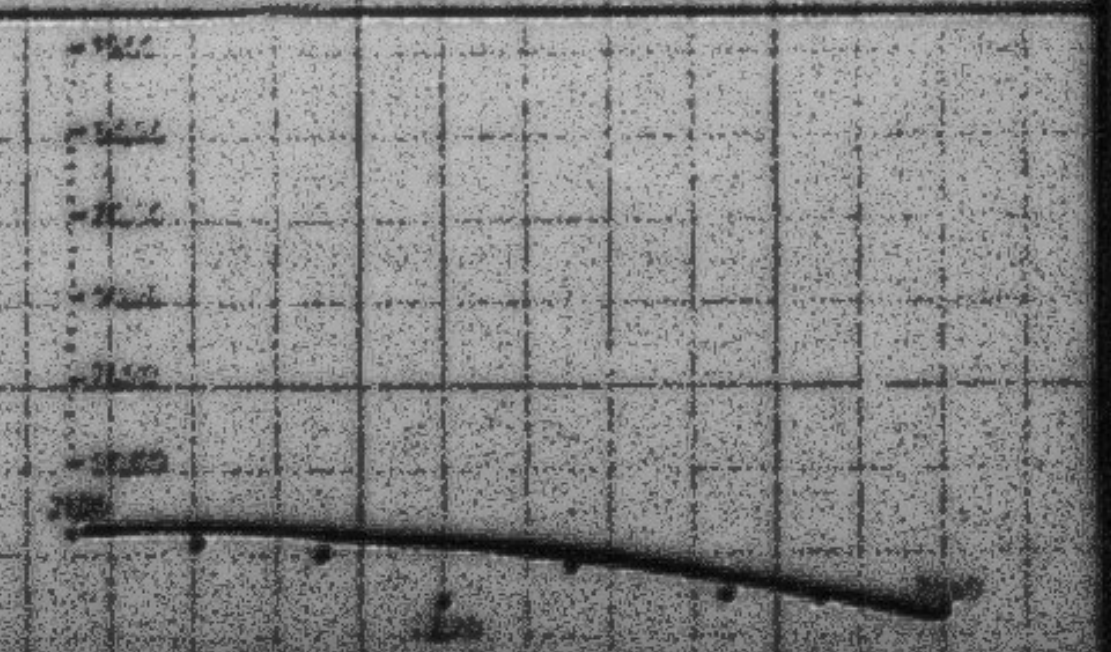
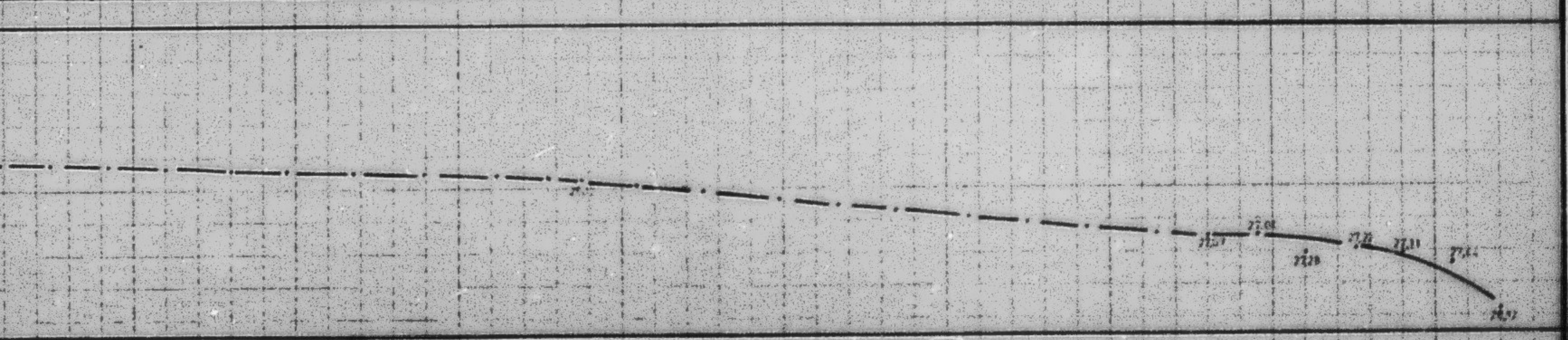
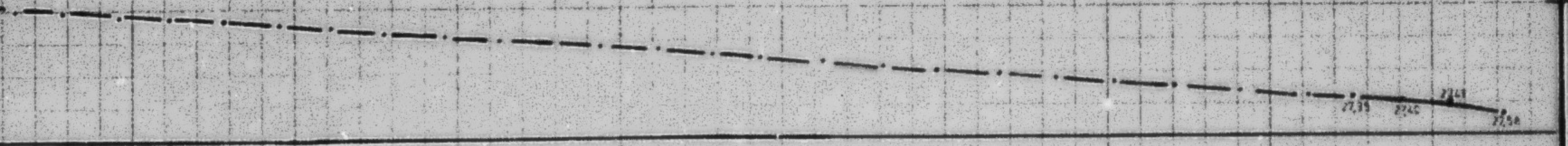


## Part 2: Preparation



D'OBSERVATION

6



12 11 10 9 8 7

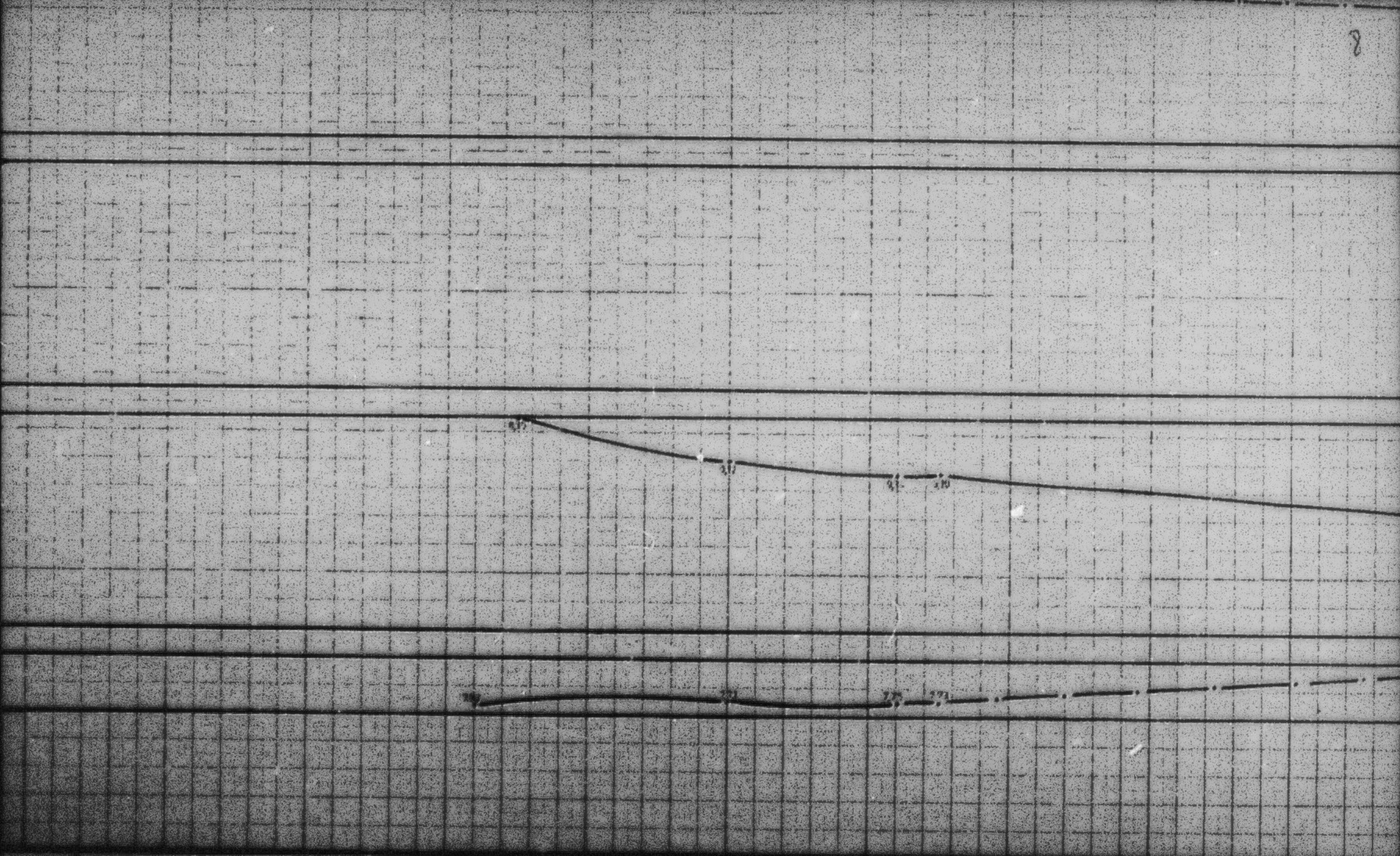
50.00  
47.00  
44.00  
41.00

48.0 49.0 50.0 51.0 52.0

53.0

38.00  
35.00  
32.00  
29.00  
26.00

23.00  
20.00  
17.00  
14.00



9

27.00  
21.57 22.22  
21.26 22.00  
21.12

- 14.12  
- 21.22  
- 21.40  
- 21.50  
- 21.58  
- 21.60

16.77  
16.81  
16.82  
16.83

16.88 16.89

16.90 16.91 16.92 16.93 16.94